

УДК 621.431.73

## ОЦЕНКА БЕЗОПАСНОГО РЕСУРСА И НАДЕЖНОСТИ РАМ ЖЕЛЕЗНОДОРОЖНЫХ ВАГОНОВ

© 2013 г.

В.М. Волков, И.В. Петрова

Нижегородский государственный технический университет  
им. Р.Е. Алексеева

Triha84@mail.ru

Поступила в редакцию 01.02.2013

Рассматривается решение задачи надежности и долговечности боковой рамы грузового вагона в рамках принципа безопасного ресурса, т.е. на стадии образования многоцикловой усталостной трещины в зонах концентрации напряжений с учетом стохастичности нагрузок, усталостной прочности материала и коэффициента концентрации напряжений.

*Ключевые слова:* надежность, ресурс, многоцикловая усталость, коэффициент концентрации напряжений.

### Введение

В зоне буксового проема (рис. 1) имеют место эксплуатационные нагрузки, обусловленные вибрацией от буксового узла. В качестве модели многоцикловой усталости используется степенная зависимость числа циклов  $N_*$  до образования усталостной трещины от амплитуды напряжения  $\sigma$ , предела усталости  $\sigma_{-1}$ , эффективного коэффициента концентрации напряжений  $k_e$  и отношения среднего напряжения  $\sigma_m$  в конструкции к пределу прочности  $\sigma_b$  материала [1].



Рис. 1

Для стационарного случайного нагружения боковой рамы в зоне буксового проема используется зависимость времени до образования усталостной трещины от значений стандарта напряжений [1, 2], полученная на основе гипотезы линейного суммирования повреждений и закона Вейбулла:

$$T_* = T_e N_0 \left( \frac{\sigma_{-1}}{k_e \cdot d_\sigma} \right)^s B(y_0, s) \left( 1 - v \frac{\sigma_m}{\sigma_b} \right)^s, \quad (1)$$

где  $T_e$  – эффективный период изменения напряжений за время до образования трещины,  $N_0$  – базовое число циклов, равное  $10^7$  [3],  $v$  – коэффициент влияния  $\sigma_m$  на усталостную прочность тонкостенной конструкции,  $s$  – показатель живучести материала,  $d_\sigma$  – стандарт напряжений для стационарного нагружения,

$$B(y_0, s) = \left[ \int_{y_0}^{\infty} y^{s+1} e^{-y^2/2} dy \right]^{-1}, \quad y_0 = \frac{\sigma_{-1}}{d_\sigma}, \quad y = \frac{\sigma}{d_\sigma}.$$

### 1. Учет нестационарности нагрузления

В период образования усталостной трещины стандарт напряжений  $d_\sigma$  принимает различные случайные значения в силу нестационарности процесса эксплуатации рамы. Эта нестационарность учитывается с помощью закона Вейбулла:

$$f_1(d_\sigma) = \alpha c d_\sigma^{\alpha-1} e^{-c \cdot d_\sigma^\alpha}. \quad (2)$$

Преобразуем выражение (1) к виду:

$$A = \frac{T_*}{T_e N_0 B_0} = \phi[D_\sigma, \sigma_{-1}, k_e, \psi] = \left( \frac{\sigma_{-1}}{k_e \cdot d_\sigma} \right)^s \left( 1 - v \frac{\sigma_m}{\sigma_b} \right)^s, \quad (3)$$

где  $B_0$  – значение  $B$  при  $y_0 = m_*/d_\Pi$ ;  $c, \alpha$  – характеристики плотности распределения вероятностей (2) случайной величины стандарта  $D_\sigma$ , причем  $d_\Pi = (1/\alpha c)^{1/\alpha}$  – среднеквадратическое отклонение  $D_\sigma$  (приведенный стандарт напряжений),  $\psi = \sigma_m/\sigma_b$  [4].

Полагая в выражении (3) случайной величиной только  $D_\sigma$ , имеем плотность распределения вероятностей для случайной величины  $A$  (относительной усталостной долговечности) известное соотношение [4]:

$$f_A(a) = \frac{\partial F(a)}{\partial a} = f_1(d_\sigma(a)) \left| \frac{\partial d_\sigma(a)}{\partial a} \right|, \quad (4)$$

где  $F(a) = P(A \leq a)$ .

Выразим  $d_\sigma$  в выражении (4) с помощью (3) через величину  $a$ :

$$d_\sigma(a) = \frac{\sigma_{-1}}{k_e} \left( 1 - v \frac{\sigma_m}{\sigma_b} \right) a^{1/s}.$$

В результате получим плотность распределения вероятностей относительной долговечности  $A$ :

$$f_A(a) = \frac{\alpha}{s} c \beta a^{-(\alpha/s+1)} e^{-c \beta / a^{\alpha/s}}, \quad (5)$$

где

$$\beta = \left[ \frac{\sigma_{-1}}{k_e} \left( 1 - v \frac{\sigma_m}{\sigma_b} \right) \right]^\alpha.$$

Условная функция распределения  $F_A(a | \sigma_{-1}, k_e, \psi)$  случайной величины  $A$  определяется интегралом ( $\beta = \text{const}$ ):

$$F_A(a | \sigma_{-1}, k_e, \psi) = \int_0^a f_A(y) dy = 1 - e^{-c \beta / a^{\alpha/s}}. \quad (6)$$

Надежность рамы  $R(a) = P(A > a)$  или  $R(t) = P(T_* > t)$ , где  $T_* = AT_e N_0 B_0$  согласно

выражению (3). На рис. 2 показаны зависимости надежности от времени  $t$ . Они определены на основе следующих данных [3, 5–7]:  $\alpha = 2$ ,  $k_e = 1,5$ ,  $\psi = 0,18$ ,  $s = 4$ ,  $v = 0,6$ ,  $\sigma_{-1} = 128$  МПа для трех значений приведенного стандарта напряжений  $d_{\Pi}$  (кривая 1 соответствует  $d_{\Pi} = 5$  МПа, кривая 2 –  $d_{\Pi} = 7$  МПа, кривая 3 –  $d_{\Pi} = 10$  МПа). Согласно статистическим данным [3],  $d_{\Pi}$  находится в пределах 5÷10 МПа.

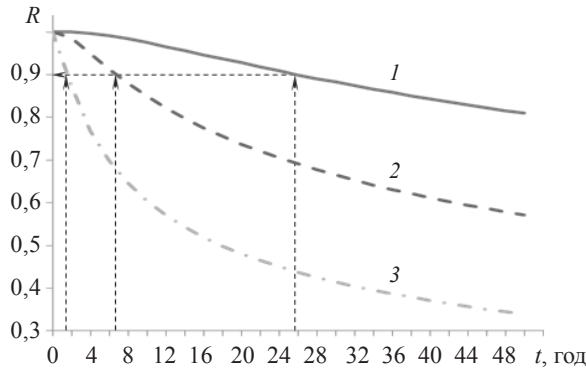


Рис. 2

## 2. Учет стохастичности параметров модели $\sigma_{-1}, k_e, \sigma_m/\sigma_b$

Случайность величин  $\sigma_{-1}$ ,  $k_e$ ,  $\psi = \sigma_m/\sigma_b$  учитывается законами Гаусса с параметрами  $d_*, m_*$ ,  $d_\psi, m_\psi, d_k, m_k$  для случайных величин  $\Sigma_{-1}, \Psi, K_e$  соответственно.

Интегрируя соотношение

$$\frac{d}{d\sigma_{-1}}[F(a, \sigma_{-1})] = F_A(a | \sigma_{-1}) f_{-1}(\sigma_{-1})$$

по  $\sigma_{-1}$ , при распределении вероятностей усталостной прочности по Гауссу получим [4]:

$$F(a) = \int_0^\infty F_A(a, \sigma_{-1}) \frac{1}{\sqrt{2\pi d_*}} \exp\left[-\frac{(\sigma_{-1} - m_*)^2}{2d_*^2}\right] d\sigma_{-1}. \quad (7)$$

Аналогично можно учесть стохастичность эффективного коэффициента концентрации  $k_e$  и отношения среднего напряжения к пределу прочности  $\psi$ . При этом имеет место соотношение [6]:  $k_e = 1 + q(k_t - 1)$ , где  $k_t$  – теоретический коэффициент концентрации напряжений,  $q$  – коэффициент чувствительности материала к концентрации. Зависимость  $k_e(k_t)$  верна для значений  $k_e$  в пределах от 1 до  $k_e^{\text{пп}}$ , где  $k_e^{\text{пп}}$  – предельное значение величины, зависящее от материала, при  $k_t = 4 \div 7$ . Для литого материала [6]  $q = 1$ . Область определения  $\psi$  находится пределах от 0 до 1 [8]. В результате имеем:

$$F(a) = \int_0^{\infty} \int_1^1 \int_0^1 F_A(a, \sigma_{-1}, k_e, \psi) f_{-1}(\sigma_{-1}) f_e(k_e) f_\psi(\psi) d\psi dk_e d\sigma_{-1}.$$

На рис. 3 показаны зависимости надежности боковой рамы грузового вагона от срока службы с учетом: 1 – случайного нагружения; 2 – случайного нагружения и стохастического характера усталостной прочности, 3 – случайного нагружения, стохастического характера усталостной прочности и эффективного коэффициента кон-

центрации напряжений, 4 – случайного нагружения, стохастического характера усталостной прочности, эффективного коэффициента концентрации напряжений и отношения среднего напряжения к пределу прочности. При этом характеристики законов распределения случайных величин  $\Sigma_{-1}$ ,  $\Psi$ ,  $K_e$  приняты в соответствии со статистическими данными [3, 5–7]:  $d_{\Pi} = 5$  МПа,  $d_* = 19$  МПа,  $m_* = 128$  МПа,  $d_\psi = 0,018$ ,  $m_\psi = 0,018$ ,  $d_k = 0,32$ ,  $m_k = 1,5$ .

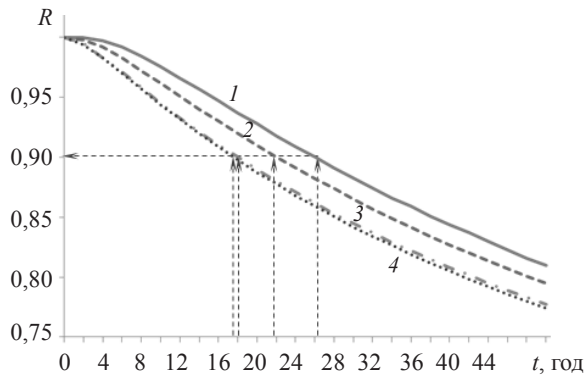


Рис. 3

### 3. Результаты

На основе модели многоцикловой усталости в рамках критерия безопасного ресурса получены зависимости надежности  $R(t)$  от эксплуатационных и конструктивно-технологических факторов, имеющих стохастический характер. Существенное влияние на ресурс оказывает уровень амплитудных напряжений и нестационарность нагрузления (см. рис. 2). Концентраторы напряжений и уровень среднего напряжения уменьшают ресурс рамы в 2–3 раза. Стохастический характер усталостной прочности дополнительно снижает  $\gamma$ -процентный ресурс на 15%, коэффициента концентрации напряжений – на 18%, отношения среднего напряжения к пределу прочности – на 2% при  $\gamma = R \cdot 100\% = 90\%$  (см. рис. 3).

До образования усталостной трещины  $\gamma$ -процентный ресурс для принятых выше характеристик законов распределения равен 17,6 лет при  $\gamma = 90\%$ . Для повышения ресурса необходимо снижать амплитуды напряжений, коэффициенты концентрации напряжений и уровень средних напряжений в раме или повышать усталостную прочность материала. Для оценки надежности на основе принципа безопасного повреждения можно воспользоваться объединенной моделью образования и роста усталостных трещин [9, 10].

### Список литературы

1. Волков В.М. Прочность корабля. Н. Новгород: НГТУ, 1994. 257 с.
2. Волков В.М., Волков В.В., Волков И.В. Надежность и ресурс газопровода в области компрессорной станции и на его линейном участке // Современные технологии в кораблестроительном и авиационном образовании, науке и производстве: Докл. Всерос. научно-техн. конф., посвященной 75-летию ФМиАТ НГТУ им. Р.Е. Алексеева (17–20 ноября 2009 г.). Н. Новгород: НГТУ, 2009.
3. Расчет вагонов на прочность / С.В. Вершинский, Е.Н. Никольский, Л.Н. Никольский и др. М.: Машиностроение, 1971. 432 с.

4. *Волков В.М.* Надежность машин и тонкостенных конструкций: Учеб. пособие. Н. Новгород: НГТУ, 2011. 365 с.
5. *Бунин Б.Б., Шацкова Е.В.* Особенности применения программы MSC Fatigue для расчета долговечности несущих металлоконструкций железнодорожного подвижного состава // ВНИКТИ, 2006. 15 с.
6. ГОСТ Р 53337-2009: Специальный подвижной состав. Требования к прочности несущих конструкций и динамическим качествам.
7. Вагоны: Учеб. для вузов железнодорожного транспорта / Под ред. Л.А. Шадура. М.: Транспорт, 1980. 439 с.
8. *Хейвуд Р.Б.* Проектирование с учетом усталости / Под ред. И.Ф. Образцова. М.: Машиностроение, 1969. 504 с.
9. *Волков В.М., Миронов А.А.* Объединенная модель образования и роста усталостных трещин в концентраторах напряжений // Проблемы прочности и пластичности: Межвуз. сб. / Нижегород. ун-т. 2005. Вып. 67. С. 20–25.
10. *Миронов А.А., Волков В.М.* Оценка надежности сварных соединений тонкостенных конструкций по результатам их неразрушающего контроля // Проблемы прочности и пластичности: Межвуз. сб. / Нижегород. ун-т. 2009. Вып. 71. С. 45–51.

## THE ASSESSMENT OF SAFE FATIGUE LIFE AND RELIABILITY OF RAILWAY CAR FRAMES

**V.M. Volkov, I.V. Petrova**

The problem of the reliability and safe fatigue life of a lateral frame of a freight car is analyzed at the stage of formation of a multi-cycle fatigue crack in stress concentration zones, taking into account the stochastic nature of loading, the fatigue strength of the material and the stress concentration coefficient.

*Keywords:* reliability, safe fatigue life, multi-cycle fatigue, stress concentration coefficient.